

Simulation Aléatoire

Constanza Corentin

2020

L'ensemble des codes R utilisé se trouve dans l'annexe à la fin de ce document ainsi que dans le fichier zip.

1 L'aiguille de Buffon

1.1 Exercice 1 :

Question 1 :

On sait que $X \sim U([0, L])$, $\Theta \sim U([-\pi/2, \pi/2])$ et que X et Θ sont indépendantes.
De plus,

$$\begin{aligned} P[D = 1] &= P[X \leq \frac{\alpha}{2} \cos \Theta] + P[X \geq L - \frac{\alpha}{2} \cos \Theta] \\ &= P[X \leq \frac{\alpha}{2} \cos \Theta] + 1 - P[X \leq L - \frac{\alpha}{2} \cos \Theta] \\ &= \int_{\mathbb{R}} \int_{-\infty}^{v_1} \frac{1}{L} * \mathbb{1}_{[0, L]} * \frac{1}{\pi} * \mathbb{1}_{[-\pi/2, \pi/2]} dx d\theta + 1 - \int_{\mathbb{R}} \int_{-\infty}^{v_2} \frac{1}{L} * \mathbb{1}_{[0, L]} * \frac{1}{\pi} * \mathbb{1}_{[-\pi/2, \pi/2]} dx d\theta \\ &= \frac{1}{L\pi} \int_{-\pi/2}^{\pi/2} \int_0^{\frac{\alpha}{2} \cos \theta} dx d\theta + 1 - \frac{1}{L\pi} \int_{-\pi/2}^{\pi/2} \int_0^{L - \frac{\alpha}{2} \cos \theta} dx d\theta \\ &= \frac{1}{L\pi} \int_{-\pi/2}^{\pi/2} [x]_0^{\frac{\alpha}{2} \cos \theta} d\theta + 1 - \frac{1}{L\pi} \int_{-\pi/2}^{\pi/2} [x]_0^{L - \frac{\alpha}{2} \cos \theta} d\theta \\ &= \frac{1}{L\pi} \int_{-\pi/2}^{\pi/2} \frac{\alpha}{2} \cos \theta d\theta + 1 - \frac{1}{L\pi} \int_{-\pi/2}^{\pi/2} L - \frac{\alpha}{2} \cos \theta d\theta \\ &= \frac{1}{L\pi} [\frac{\alpha}{2} \sin \theta]_{-\pi/2}^{\pi/2} + 1 - \frac{1}{L\pi} ([L\theta]_{-\pi/2}^{\pi/2} - [\frac{\alpha}{2} \sin \theta]_{-\pi/2}^{\pi/2}) \\ &= \frac{\alpha}{L\pi} + 1 - \frac{1}{L\pi} (L\pi - \alpha) \\ &= \frac{\alpha}{L\pi} + 1 - 1 + \frac{\alpha}{L\pi} \\ &= \frac{2\alpha}{L\pi} \end{aligned}$$

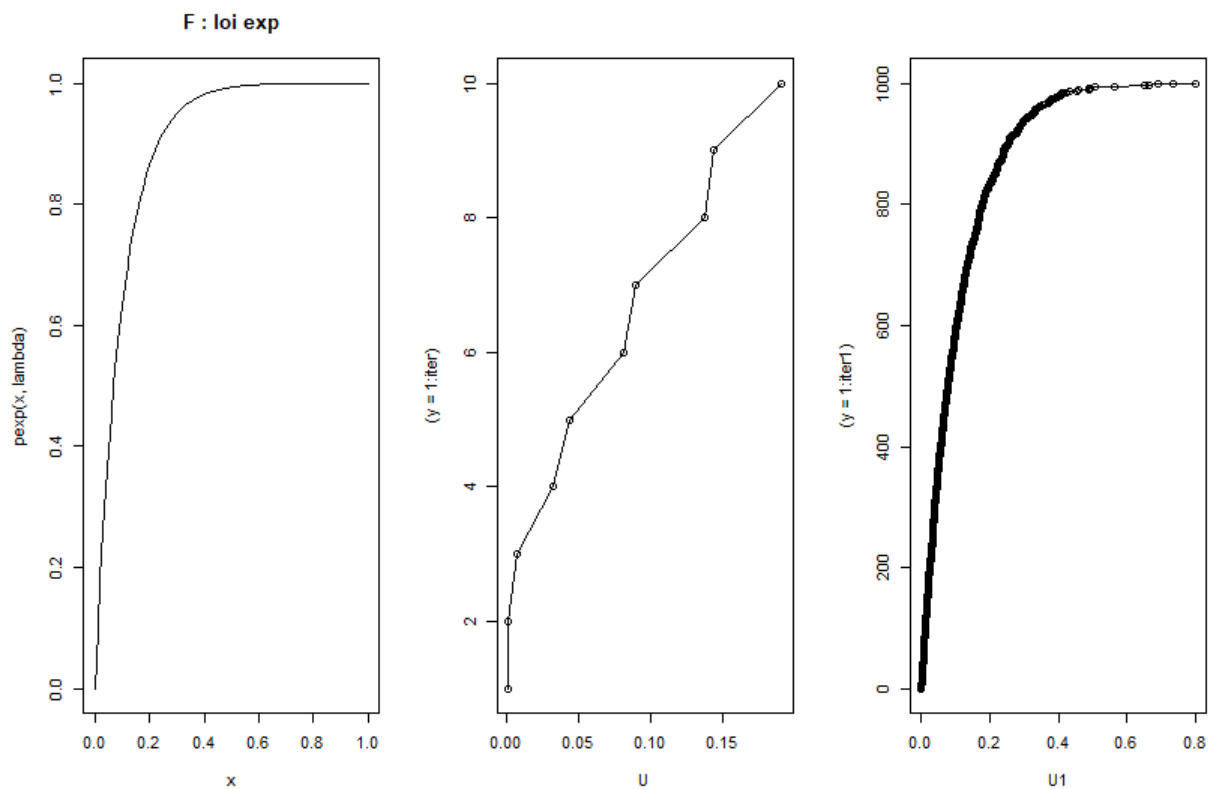
Question 2 : Donner une approximation de π par la méthode de Buffon avec R.

En utilisant la méthode présentée dans l'énoncé avec $n = 10^7$ lancer on peut obtenir 3.143164 comme approximation de π .

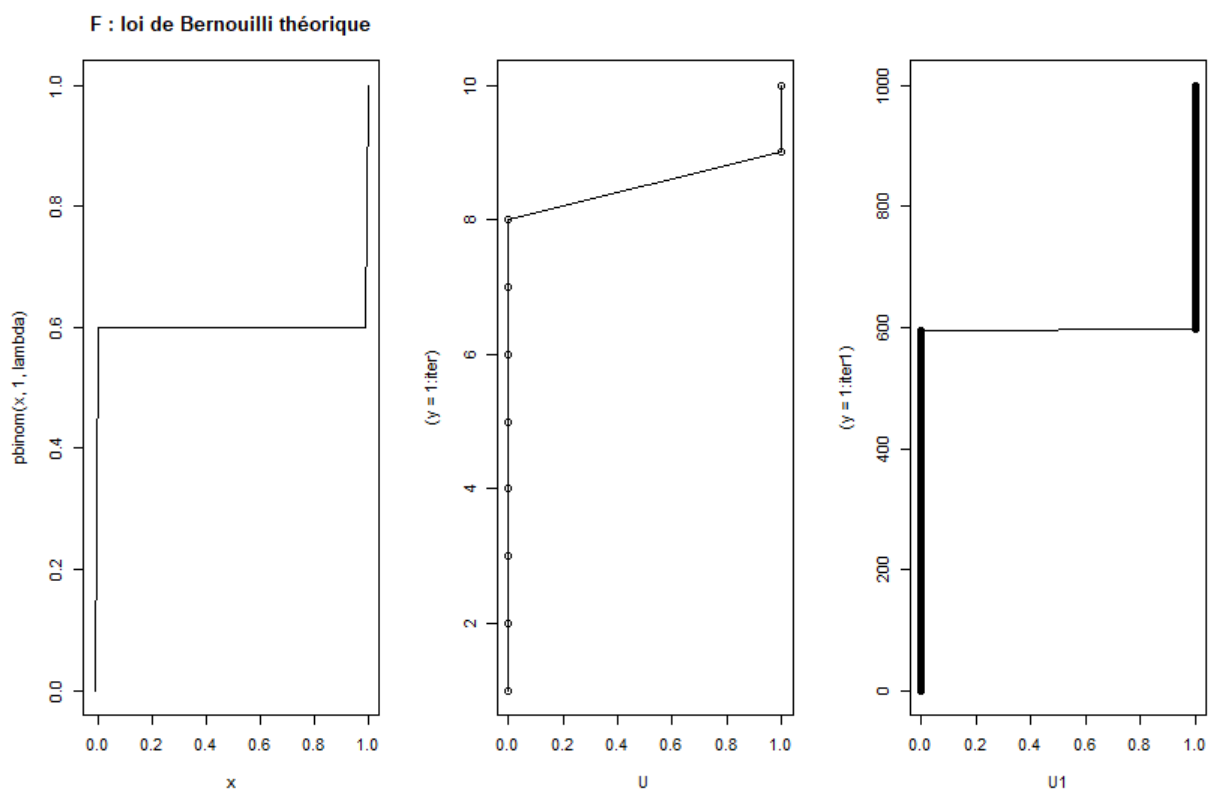
2 Simulation par la méthode d'inversion

Dans cette partie nous allons utiliser R afin de générer une loi exponentielle de paramètre λ et une loi de Bernoulli de paramètre p

Simulation de la loi Exponentielle de paramètre $\lambda = 10$:



Simulation de la loi de Bernoulli de paramètre $p = 0.4$:



On constate que plus le nombre d'itérations est grand plus notre approximation est précise. Elle semble assez bonne lorsqu'on la compare à la loi fonction de repartition exact et que l'on à un nombre suffisant d'itérations.

3 Méthode de Box Muller pour la simulation de variables gaussiennes

3.1 Exercice 2 :

Question 1 : On pose :

$$\begin{pmatrix} X_1 \\ X_2 \end{pmatrix} = \phi(U, V) = \begin{pmatrix} \sqrt{2V} \cos(2\pi U) \\ \sqrt{2V} \sin(2\pi U) \end{pmatrix}$$

Ce qui équivaut à dire que :

$$\begin{pmatrix} U \\ V \end{pmatrix} = \begin{pmatrix} \frac{1}{2\pi} \arccos\left(\frac{X_1}{\sqrt{X_1^2 + X_2^2}}\right) \\ \frac{X_1^2 + X_2^2}{2} \end{pmatrix} = \phi^{-1}(X_1, X_2)$$

On remarque donc que ϕ est un C^1 -difféomorphisme, on peut donc appliqué la proposition 1 avec notre changement de variable, on a :

$$\int_{\mathbb{R}^2} h(x_1, x_2) f_{X_1, X_2}(x_1, x_2) dx_1 dx_2$$

Avec :

$$f_{X_1, X_2}(x_1, x_2) = \frac{f_{U, V}(\phi^{-1}(x_1, x_2))}{|\det[J_\phi(\phi^{-1}(x_1, x_2))]|}$$

Où,

$$\det[J_\phi(\phi^{-1}(x_1, x_2))] = -2\pi$$

Et donc,

$$|\det[J_\phi(\phi^{-1}(x_1, x_2))]| = |-2\pi| = 2\pi$$

Derterminons maintenant $f_{U, V}$. On sait aussi que U et V sont independantes, d'où :

$$f_{U, V}(u, v) = f_U(u) * f_V(v) = e^{-v} \mathbb{1}_{[0, 1]}(u) \mathbb{1}_{\mathbb{R}^+}(v)$$

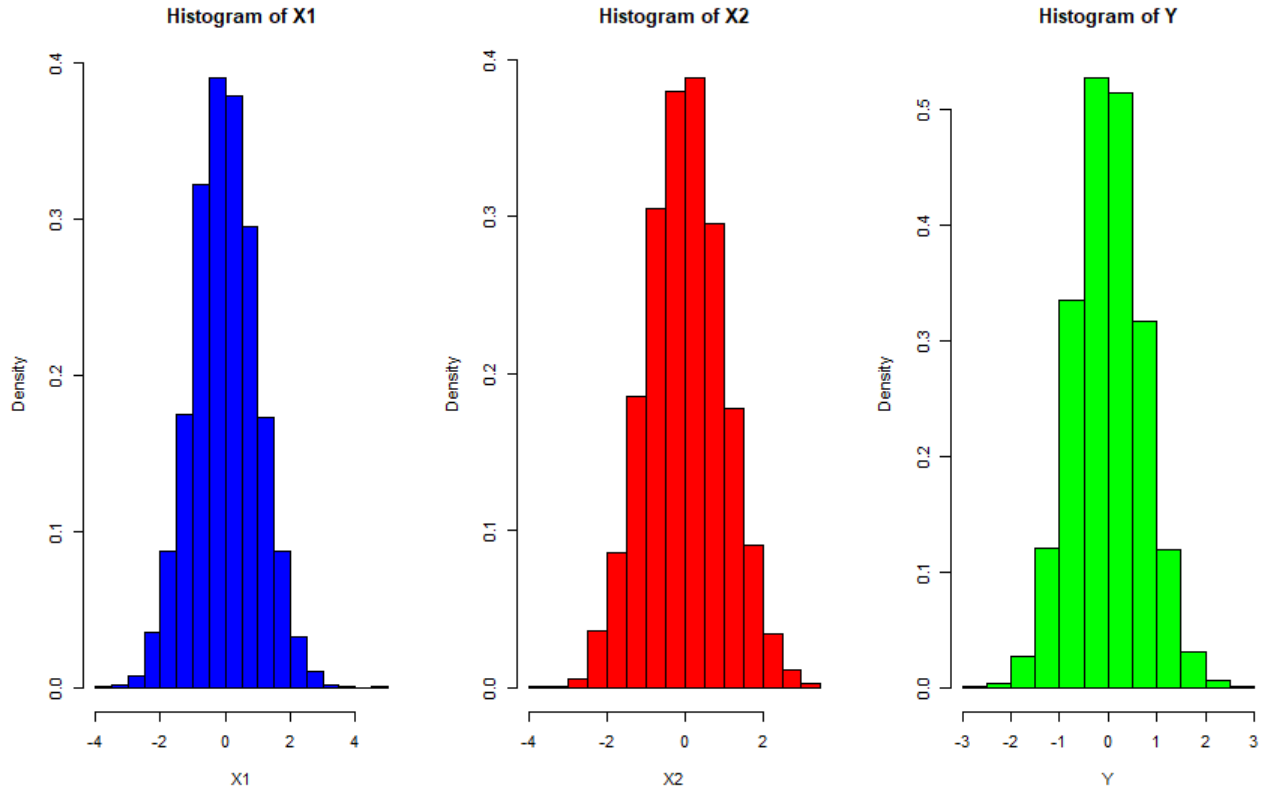
$$\begin{aligned} f_{X_1, X_2}(x_1, x_2) &= \frac{f_{U, V}(\phi^{-1}(x_1, x_2))}{|\det[J_\phi(\phi^{-1}(x_1, x_2))]|} \\ &= \frac{1}{2\pi} f_{U, V}\left(\frac{1}{2\pi} \arccos\left(\frac{x_1}{\sqrt{x_1^2 + x_2^2}}\right), \frac{x_1^2 + x_2^2}{2}\right) \\ &= \frac{1}{2\pi} e^{-\frac{x_1^2 + x_2^2}{2}} \mathbb{1}_{[0, 1]}\left(\frac{1}{2\pi} \arccos\left(\frac{x_1}{\sqrt{x_1^2 + x_2^2}}\right)\right) \mathbb{1}_{\mathbb{R}^+}\left(\frac{x_1^2 + x_2^2}{2}\right) \\ &= \frac{1}{2\pi} e^{-\frac{x_1^2 + x_2^2}{2}} \mathbb{1}_{\mathbb{R}}(x_1) \mathbb{1}_{\mathbb{R}}(x_2) \\ &= \frac{1}{2\pi} e^{-\frac{x_1^2 + x_2^2}{2}} \end{aligned}$$

Ce qui est bien la formule vu en cours pour un vecteur aléatoire suivant une $\mathcal{N}(0, I_2)$

Question 2 : Illustrer et valider ce résultat avec R.

On crée deux V.A. U et V qui suivent des lois uniforme et exponentielles. On leur applique ensuite la formule vu dans la question 1. On stock ces nouvelles V.A. dans X_1 et X_2 . On affiche ensuite leurs histogrammes respectifs pour vérifier que X_1 et X_2 suivent bien une loi $\mathcal{N}(0, 1)$. On peut aussi vérifier qu'une combinaison linéaire de X_1 , X_2 suit bien aussi une loi normal. Pour ça on stock dans une V.A. : $Y = \frac{1}{2}X_1 + \frac{1}{2}X_2$

Voici les histogrammes obtenues :



On peut voir qu'ils correspondent bien à une loi $\mathcal{N}(0, 1)$ pour $X1, X2$ et une $\mathcal{N}(m, \sigma)$ pour Y . Notre implementation est donc valide.

3.2 Exercice 3 :

Question 1 :

On pose :

$$\begin{pmatrix} Y \\ Z \end{pmatrix} = \phi(U, V) = \begin{pmatrix} U \\ \frac{U}{U+V} \end{pmatrix}$$

Ce qui équivaut à dire que :

$$\begin{pmatrix} U \\ V \end{pmatrix} = \begin{pmatrix} YZ \\ Z(1-Z) \end{pmatrix} = \phi^{-1}(Y, Z)$$

On remarque donc que ϕ est un C^1 -difféomorphisme, on peut donc appliqué la proposition 1 avec notre changement de variable, on a :

$$\int_{[0,1]} \int_{\mathbb{R}^+} h(y, z) f_{Y,Z}(y, z) dy dz$$

Avec :

$$f_{Y,Z}(y, z) = \frac{f_{U,V}(\phi^{-1}(y, z))}{|\det[J_\phi(\phi^{-1}(y, z))]|}$$

Où,

$$\det[J_\phi(\phi^{-1}(y, z))] = \frac{v}{(u+v)^2} + \frac{u}{(u+v)^2} = \frac{1}{u+v}$$

Et donc,

$$|\det[J_\phi(\phi^{-1}(y, z))]| = \left| \frac{1}{z} \right|$$

Derterminons maintenant $f_{U,V}$. On sait aussi que U et V sont independantes, d'où :

$$f_{U,V}(u, v) = f_U(u) * f_V(v) = \frac{u^{\alpha-1} \theta^\alpha e^{-\theta * u}}{\Gamma(\alpha)} \frac{v^{\beta-1} \theta^\beta e^{-\theta * v}}{\Gamma(\beta)} \mathbb{1}_{]0,1[}(u) \mathbb{1}_{\mathbb{R}_+^+}(v)$$

Finalement,

$$\begin{aligned}
 f_{Y,Z}(y, z) &= \frac{f_{U,V}(\phi^{-1}(y, z))}{|\det[J_\phi(\phi^{-1}(y, z))]|} \\
 &= z f_{U,V}(yz), z(1-y)2 \\
 &= z \left(\frac{(yz)^{\alpha-1} \theta^\alpha e^{-\theta yz}}{\Gamma(\alpha)} \right) \left(\frac{(z(1-y))^{\beta-1} \theta^\beta e^{-\theta z(1-y)}}{\Gamma(\beta)} \right) \mathbb{1}_{]0,1[}(y) \mathbb{1}_{\mathbb{R}^+}(z) \\
 &= \frac{1}{\Gamma(\alpha)\Gamma(\beta)} \theta^{\alpha+\beta} z^{\alpha+\beta-1} y^{\alpha-1} e^{-\theta z} \mathbb{1}_{]0,1[}(y) \mathbb{1}_{\mathbb{R}^+}(z)
 \end{aligned}$$

Déterminons maintenant la loi marginal de Y :

$$\begin{aligned}
 f_Y(y) &= \int_{\mathbb{R}} f_{Y,Z}(y, z) dz \\
 &= \frac{1}{\Gamma(\alpha)\Gamma(\beta)} y^{\alpha-1} (1-y)^{\beta-1} \mathbb{1}_{]0,1[}(y) \int_0^\infty \theta^{\alpha+\beta} z^{\alpha+\beta-1} e^{-\theta z} dz
 \end{aligned}$$

En effectuant le changement de variable $\theta z = t$ et $\theta dz = dt$, on a :

$$\begin{aligned}
 &\frac{1}{\Gamma(\alpha)\Gamma(\beta)} y^{\alpha-1} (1-y)^{\beta-1} \mathbb{1}_{]0,1[}(y) \int_0^\infty \theta^{\alpha+\beta} z^{\alpha+\beta-1} e^{-\theta z} dz \\
 &= \frac{1}{\Gamma(\alpha)\Gamma(\beta)} y^{\alpha-1} (1-y)^{\beta-1} \mathbb{1}_{]0,1[}(y) \int_0^\infty t^{\alpha+\beta} e^{-t} dt \\
 &= \frac{\Gamma(\alpha+\beta)}{\Gamma(\alpha)\Gamma(\beta)} y^{\alpha-1} (1-y)^{\beta-1} \mathbb{1}_{]0,1[}(y)
 \end{aligned}$$

On reconnait bien une loi bêta de paramètre α et β .

Question 2 :

Nous allons utiliser ici la transformé de Laplace de Z comme vu dans le cours d'introduction à la Statistique. La transformé de Laplace d'une V.A. caractérise sa loi.

$$\begin{aligned}
 E[e^{tZ}] &= E[e^{-t(U+V)}] = E[e^{tU} e^{tV}] \\
 &= E[e^{tU}] E[e^{tV}] \quad \text{car } U \text{ } V \text{ sont indépendantes} \\
 &= \int_0^\infty \frac{\theta^\alpha u^{\alpha-1} e^{-(\theta+t)u}}{\Gamma(\alpha)} du + \int_0^\infty \frac{\theta^\beta v^{\beta-1} e^{-(\theta+t)v}}{\Gamma(\beta)} dv \\
 &= \frac{\theta^\alpha}{(\theta+t)^\alpha} \int_0^\infty \frac{(\theta+t)^\alpha u^{\alpha-1} e^{-(\theta+t)u}}{\Gamma(\alpha)} du + \frac{\theta^\beta}{(\theta+t)^\beta} \int_0^\infty \frac{(\theta+t)^\beta v^{\beta-1} e^{-(\theta+t)v}}{\Gamma(\beta)} dv \\
 &= \frac{\theta^\alpha}{(\theta+t)^\alpha} + \frac{\theta^\beta}{(\theta+t)^\beta} \quad \text{car on a des intégrales de fonctions densité (donc = à 1)} \\
 &= \frac{\theta^{\alpha+\beta}}{(\theta+t)^{\alpha+\beta}}
 \end{aligned} \tag{1}$$

On reconnait la transformé de Laplace d'une loi $\Gamma(\alpha + \beta, \theta)$. Donc $Z \sim \Gamma(\alpha + \beta, \theta)$.

Question 3 :

$$\begin{aligned}
 f_Y(y) f_Z(z) &= \frac{\Gamma(\alpha+\beta)}{\Gamma(\alpha)\Gamma(\beta)} y^{\alpha-1} (1-y)^{\beta-1} \mathbb{1}_{]0,1[}(y) * \frac{e^{-\theta z} \theta^{\alpha+\beta} z^{\alpha+\beta-1}}{\Gamma(\alpha+\beta)} \mathbb{1}_{\mathbb{R}^+}(z) \\
 &= \frac{1}{\Gamma(\alpha)\Gamma(\beta)} \theta^{\alpha+\beta} z^{\alpha+\beta-1} y^{\alpha-1} e^{-\theta z} \mathbb{1}_{]0,1[}(y) \mathbb{1}_{\mathbb{R}^+}(z) \\
 &= f_{Y,Z}(y, z)
 \end{aligned}$$

Y et Z sont donc indépendantes.

4 Méthode de Monte-Carlo

4.1 Exercice 4 :

On cherche à approcher π par la méthode de Monte-Carlo. Pour cela il nous suffit de générer aléatoirement des points (x, y) sur $]0, 1[\times]0, 1[$. Nous utiliserons donc deux lois uniformes sur $[0, 1]$. On trace ensuite le cercle de centre $(0, 0)$ et de rayon 1. On fait ensuite le rapport entre les points à l'intérieur du cercle et ceux à l'extérieur, pour un nombre de points n suffisamment grand, ce rapport doit être égale à $\frac{\pi}{4}$. Nous avons donc une estimation de π !

En lançant la simulation pour $n = 10000$, on peut obtenir 3.142332 comme approximation de π

5 Simulation par la méthode du rejet

5.1 Exercice 5 :

Question 1 :

On cherche à montrer que

$$P(U < \frac{1}{T}) = \frac{1}{c}$$

On pose $T = \frac{c \cdot g(x)}{f(x)}$, on a donc

$$\begin{aligned} P(U < \frac{1}{T}) &= P(U < \frac{f(x)}{c \cdot g(x)}) \\ &= \int_{\mathbb{R}} \frac{f(x)}{c \cdot g(x)} * g(x) dx \\ &= \frac{1}{c} \int_{\mathbb{R}} f(x) dx \\ &= \frac{1}{c} \end{aligned}$$

Car f est la densité de X , $\int_{\mathbb{R}} f(x) dx = 1$

Question 2 :

On cherche à montrer que, pour $B \in \mathbb{R}^d$, on a :

$$P(X \in B | U < \frac{1}{T}) = \int_{\mathbb{R}} f(x) dx$$

Or, on sait que :

$$P(X \in B | U < \frac{1}{T}) = \frac{P(U < \frac{1}{T} \cap X \in B)}{P(U < \frac{1}{T})}$$

De plus, comme X et U sont indépendants :

$$\frac{P(U < \frac{1}{T} \cap X \in B)}{P(U < \frac{1}{T})} = \frac{P(U < \frac{1}{T}) * P(X \in B)}{P(U < \frac{1}{T})} = P(X \in B)$$

D'où finalement :

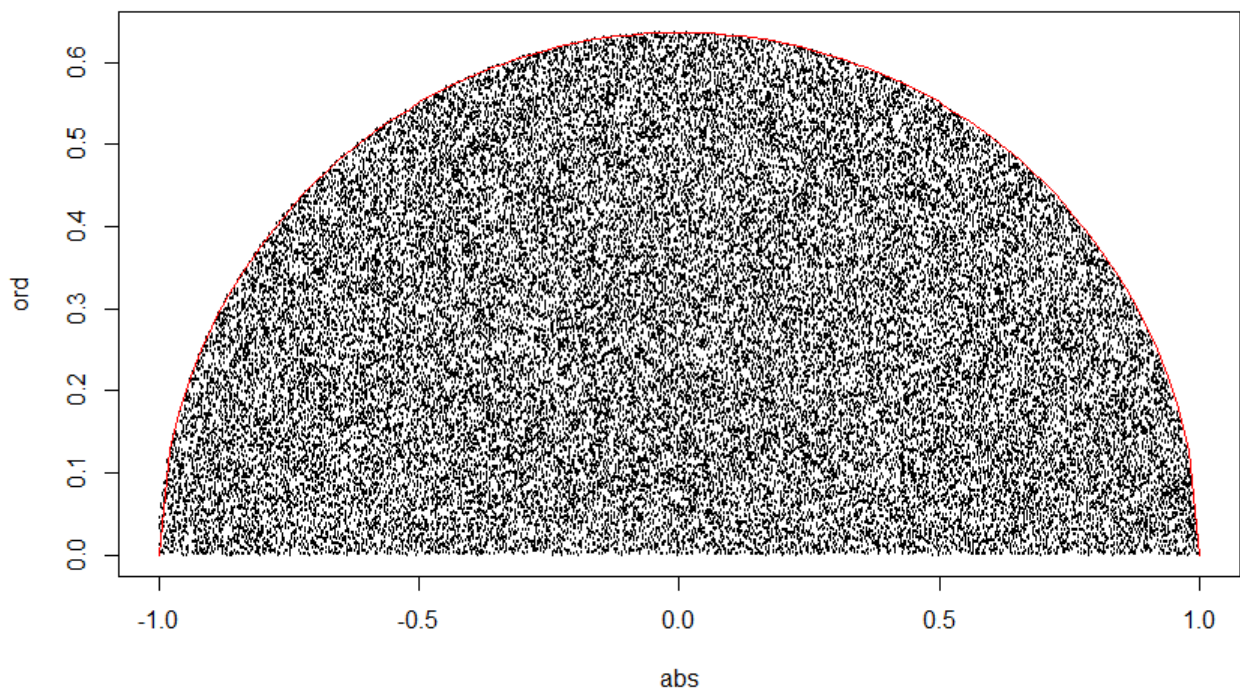
$$P(X \in B | U < \frac{1}{T}) = P(X \in B) = \int_{\mathbb{R}} f(x) dx$$

5.2 Exercice 6 :

Soit X une V.A. réelle ayant pour densité la fonction suivante :

$$X \in \mathbb{R}, f(x) = \frac{2}{\pi} \sqrt{1 - x^2} * \mathbb{1}_{[-1, 1]}$$

Voici le graphique que nous obtenons après la simulation :



On peut voir que nos points sont bien répartis sous la demi-ellipse qui est f , notre implementation est donc correct.

6 Annexes : Codes

6.1 Buffon

```
buffon <- function(n, a, L) {

#génération des VA, teta pour l'angle, X pour la distance à la jointure la plus proche
  teta <- runif(n, -(pi/2), pi/2)
  x <- runif(n, 0, 0.5*L)

#simulation
  lancer <- x <= (0.5 * a * cos(teta))

  return (2*a/(L*mean(lancer)))
}

test = buffon(10000000, 1, 4)
test
```

6.2 Inversion

```
#simulation par la mthds d'inversion
#1) loi exponentielle

iter=10
iter1=1000
lambda=10
```

```

Finv<-function(u,lambda)
{
  return(-(1/lambda)*log(1-u))
}
U=c(Finv(runif(iter,0,1),lambda))
U=sort(U)
U1=c(Finv(runif(iter1,0,1),lambda))
U1=sort(U1)
par(mfrow=c(1,3))
curve ( pexp ( x , lambda ) , 0 , 1 , main='F : loi exp' )
plot(x=U,(y=1:iter),type="o")
plot(x=U1,(y=1:iter1),type="o")

#2)loi de Bernouilli
iter=10
iter1=1000
lambda=0.4

F2inv<-function(u,p)
{
  x=rep(0,length(u))
  for(i in 1:length(u))
  {
    if (u[i]<1-p)
    {
      x[i]=0
    }
    else
    {
      x[i]=1
    }
  }
  return (x)
}

U=c(F2inv(runif(iter,0,1),lambda))
U=sort(U)
U1=c(F2inv(runif(iter1,0,1),lambda))
U1=sort(U1)

par(mfrow=c(1,3))
curve ( pbinom(x,1, lambda ) , -0.01 , 1 , main='F : loi de Bernouilli théorique' )
plot(x=U,(y=1:iter),type="o")
plot(x=U1,(y=1:iter1),type="o")

```

6.3 Box Muller

```

par(mfrow=c(1,1))
n = 10^4

V = rexp(n, 1)
U = runif(n, 0, 1)

X1 = sqrt(2*V)*cos(2*pi*U)
X2 = sqrt(2*V)*sin(2*pi*U)

par(mfrow=c(1,3))

hist(X1, col = "blue",freq = FALSE)

```



```
hist(X2, col = "red",freq = FALSE)

Y=(X1+X2)/2

hist(Y, col = "green", freq = FALSE)
```

6.4 Monte-Carlo

```
aprx <- function(n){
  cpt = 0

  for (i in 1:n){
    x=runif(1,0,1)
    y=runif(1,0,1)

    if( (x^2 + y^2) <= 1){
      cpt = cpt + 1
    }
  }

  aprx = cpt / n*4
  ecart = pi/aprx
  return (aprx)
}
aprx(1000000)
```

6.5 Rejet

```
N <- 100000

abs <- rep(0, N)
ord <- rep(0, N)

U <- runif(N, -1, 1)
V <- runif(N, 0, 1)

x<-U

y <- (2/pi) *sqrt(1-x^2)

for(i in 1:N){
  if(V[i]<y[i]){
    abs[i]<-x[i]
    ord[i]<-V[i]
  }
}

plot(abs, ord,cex=0.2)
curve((2/pi)*sqrt(1-x^2),from = -1, to =1,add=TRUE,col="red")
```